

© 1992

ЯМР ^{27}Al В СМЕШАННЫХ КРИСТАЛЛАХ $\text{Y}_x\text{Er}_{1-x}\text{AlO}_3$

Л. С. Воротилова, С. Н. Иванов, В. С. Касперович,
Е. В. Чарная, Е. Н. Хазанов

Проведены исследования ЯМР ^{27}Al в твердых растворах $\text{Y}_x\text{Er}_{1-x}\text{AlO}_3$ для $x = 1, 0.93$ и 0.90 . Показано, что спектр ЯМР для $x < 1$ состоит из основной совокупности линий, совпадающей со спектром ЯМР чистого иттриевого алюмината, и дополнительного спектра, возникающего вследствие параметрического сдвига, индуцируемого ионами Er^{3+} . Характер спектра в смешанных кристаллах указывает на наличие элементов ближнего порядка замещения. Обсуждаются наиболее вероятные варианты структуры смешанных алюминатов.

В настоящей работе представлены результаты исследований ядерного магнитного резонанса (ЯМР) ^{27}Al в кристаллах $\text{Y}_x\text{Er}_{1-x}\text{AlO}_3$ для $x = 1, 0.93$ и 0.90 . Смешанные кристаллы иттрий-эрбьевых алюминатов используются в различных областях современной физики и, в частности, в физике лазеров. Тем не менее данные по ЯМР имеются только для YAlO_3 [1].

Измерения проводились на стационарном спектрометре ЯМР широких линий во внешнем магнитном поле с индукцией $B_0 = 1$ Т при температурах 295 и 77 К. Образцы имели вид параллелепипедов, вырезанных вдоль кристаллографических осей. Внешнее поле ориентировалось в плоскости (001) кристаллов, и в процессе измерений образцы могли поворачиваться вокруг оси [001].

Результаты, полученные для чистого иттриевого образца ($x = 0$), полностью соответствуют данным [1]. Поскольку локальное окружение ионов Al ниже кубической (пространственная симметрия алюминатов P_{bma}), спин Al $I = 5/2$ и в элементарной ячейке содержатся четыре формульных единицы YAlO_3 , то имеются четыре незквивалентные позиции Al в кристаллической решетке и спектр ЯМР при произвольной ориентации образца в магнитном поле должен состоять из 17 линий: центральной, несмещенной линии, обусловленной переходами между уровнями с магнитными квантовыми числами $m = \pm 1/2$ (квадрупольный сдвиг второго порядка мал [1] и в пределах погрешности не оказывается на положении компонент), и по восемь сателлитов с обеих сторон от центральной линии, обусловленных переходами $\pm 1/2 \leftrightarrow \pm 3/2$ и $\pm 3/2 \leftrightarrow \pm 5/2$. Однако если внешнее поле лежит в одной из кубических плоскостей, то в этом случае остаются только два незквивалентных положения ионов Al и в спектре ^{27}Al наблюдается девять линий.

Угловая зависимость резонансных частот сателлитов при повороте образца вокруг оси [001] описывается обычными соотношениями для квадрупольных сдвигов первого порядка [2] с константами, совпадающими с [1]: $e^2 q Q / \hbar = 1.4$ МГц и $\eta = 0.75$, где e — заряд электрона, eq — zz-компоненты тензора градиента внутрикристаллического электрического поля в главных осях, Q — квадрупольный момент алюминия, \hbar — постоянная Планка, η — параметр асимметрии. При этом ширина центральной компоненты спектра, равная расстоянию между минимумом и максимумом производной линии поглощения, составляет около 7 МГц.

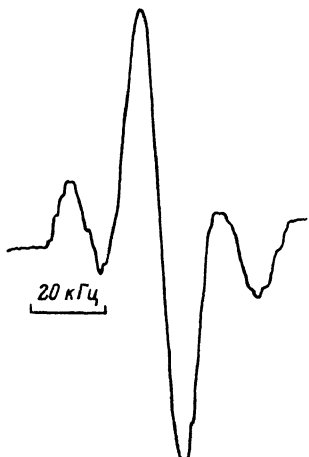


Рис. 1. Основная и дополнительная составляющие центральной линии спектра ЯМР ^{27}Al в кристалле $\text{Y}_{0.9}\text{Er}_{0.1}\text{AlO}_3$.

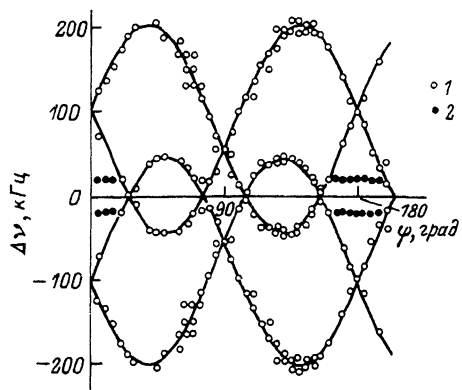


Рис. 2. Зависимость сдвигов $\Delta\nu$ частот ближайших сателлитов ($\pm 1/2 \leftrightarrow \pm 3/2$) (1) и дополнительных центральных линий (2) для двух неэквивалентных позиций Al от угла φ между осью [100] кристалла $\text{Y}_{0.9}\text{Er}_{0.1}\text{AlO}_3$ и вектором \mathbf{B}_0 .

Сплошные линии — расчет по данным [1] для чистого иттриевого алюмината.

В смешанных кристаллах структура ЯМР несколько усложняется. Наряду с совокупностью линий, имеющих тот же вид, что и в YAlO_3 , появляются дополнительные компоненты, изменяющие свое положение при повороте образца в магнитном поле. Наиболее отчетливо видны две дополнительные линии, симметричные относительно центральной составляющей (рис. 1). В области углов φ от 155 до 205 (φ — угол между направлением вектора \mathbf{B}_0 и осью [100] кристаллов) сдвиг этих дополнительных линий в пределах погрешности остается постоянным и равным 20 кГц (рис. 2). При других ориентациях образцов положение дополнительных линий трудно определить с хорошей точностью, так как они накладываются на сателлиты.

Угловая зависимость линий, отвечающих основной совокупности, в пределах погрешности описывается теми же параметрами квадрупольного взаимодействия, что и в чистом иттриевом алюминате. На рис. 2 в качестве примера приведены экспериментальные данные для образца с $x = 0.90$ и расчетные кривые с параметрами e^2qQ/\hbar и η из [1]. Отличие основной совокупности линий в смешанных кристаллах и спектрах ЯМР чистого иттриевого алюмината состоит только в незначительном уширении резонансных линий; так, например, для образца $x = 0.93$ ширина центральной компоненты составляет 9 кГц, а для образца $x = 0.90$ — около 10 кГц.

Появление дополнительных линий можно объяснить парамагнитным сдвигом, индуцируемым ионами Er^{3+} . В смешанных алюминатах $\text{Y}_x\text{Er}_{1-x}\text{AlO}_3$ ионы Er^{3+} замещают ионы Y^{3+} , причем это замещение ввиду близости ионных радиусов иттрия и эрбия не приводит к существенным изменениям межатомных расстояний и искажениям элементарной ячейки. Таким образом, поскольку в чистом иттриевом алюминате ионы алюминия находятся в окружении 8 ионов иттрия, образующих слегка искаженный куб, то в смешанном кристалле в части вершин куба будут находиться ионы эрбия (рис. 3). Наличие парамагнитных ионов в ближайшем окружении Al вызывает сдвиг частоты ЯМР, величина которого дается выражением [2]

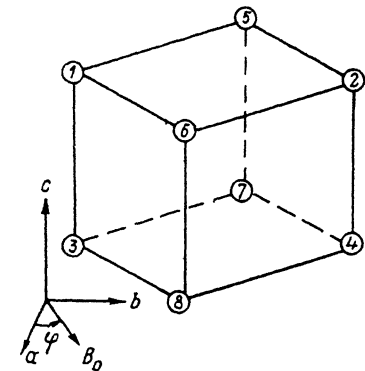
Рис. 3. Фрагмент элементарной ячейки алюмината.

Положения ионов кислорода не показаны.

$$\Delta\nu = \frac{\gamma}{2\pi} \sum_i \frac{\langle \mu_i \rangle}{r_i^3} (1 - 3 \cos^2 \theta_i), \quad (1)$$

где γ — гиromагнитное отношение ядра ^{27}Al , индекс i нумерует соседние ионы Ег, $\langle \mu_i \rangle$ — эффективный магнитный момент ионов Er^{3+} , r_i — расстояние между Al и i -м ионом Ег, θ_i — угол между r_i и B_0 . Эффективный момент $\langle \mu \rangle$ Er^{3+} для кристаллов $\text{Y}_x\text{Er}_{1-x}\text{AlO}_3$ сводится к среднему дипольному магнитному моменту, поскольку расстояния между Al и Ег составляют более 0.3 нм, что превышает протяженность электронных функций Er^{3+} . Вследствие этого $\langle \mu \rangle$ можно рассчитывать по формуле [3] $\langle \mu \rangle = (g\beta)J(J+1)B_0/(3k_B T)$, где g — электронный g -фактор, β — магнетон Бора, J — полный механический момент иона Er^{3+} , k_B — постоянная Больцмана. (Отметим, что $\langle \mu \rangle$ обратно пропорционален температуре).

Хорошее согласие между экспериментальными значениями $\Delta\nu$ и теоретическими оценками на основании (1) достигается, если предположить, что ион Ег замещает один из ионов Y в любом из 8 положений около Al, причем положениям 1—4 (рис. 3) и положениям 5—8 соответствует противоположный знак. Для $155^\circ < \varphi < 205^\circ$ при комнатной температуре расчетная величина $\Delta\nu = 20$ кГц, а при 77 К — около 130 кГц, что в пределах погрешности совпадает с экспериментально наблюдаемыми сдвигами центральной компоненты (рис. 1, 2). Такое предположение означает, что ионы эрбия равномерно распределены по решетке твердого раствора, так что для концентрации $x = 0.90$ один ион Ег находится в ближайшем окружении 8 из 10 ионов Al, а для концентрации $x = 0.93$ один ион Ег находится в ближайшем окружении приблизительно 50% ионов Al. Однако такое распределение абсолютно не согласуется с соотношениями интенсивностей основных и дополнительных центральных линий (рис. 1), равными 6 : 1 : 1 для $x = 0.90$ и 30 : 1 : 1 для $x = 0.93$, при том что ширина дополнительных компонент спектра практически не отличается от ширины основной компоненты и составляет для обоих смешанных кристаллов 9 кГц. В связи с этим следует рассмотреть другие возможности размещения ионов Ег в решетке алюмината. В случае отсутствия каких-либо элементов порядка в замещении ионов Y ионами Ег [4] количество ионов Ег в ближайшем окружении ядер Al флюктуирует около средней величины, задаваемой концентрацией твердого раствора x . Амплитуда флюктуаций определяется гауссовским законом [5]. Таким образом, существует значительная вероятность того, что в ближайшем окружении ионов Al могут находиться 2, 3 и т. д. ионов Ег. Если два иона Ег в окружении Al находятся в положениях, например, 1 и 5 (рис. 3), когда индуцируемые ими парамагнитные сдвиги компенсируются, то в такой ситуации центральная компонента спектра ЯМР алюминия остается несмещенной, т. е. совпадает с центральной компонентой спектра ЯМР чистого YAlO_3 . Аналогичная возможность имеется при любом четном числе ионов Ег в окружении Al. В принципе такое распределение позволяет объяснить экспериментально наблюдаемое соотношение интенсивностей основной и дополнительных центральных составляющих спектра ЯМР, однако только если внешнее поле B_0 лежит в плоскости (001). При отклонении B_0 от плоскости компенсация парамагнитных вкладов нарушается и основная компонента должна уширяться и затем, возможно, расщепиться, что противоречит экспериментальным результатам, согласно которым и основная, и дополнительные центральные компоненты практически не изменяют своей ширины и интенсивности при повороте образца в поле вокруг осей [100] и



[010]. Это означает наличие определенного порядка замещения в твердом растворе, отличающегося от обсужденного выше варианта равномерного распределения Ег по решетке. В большей степени с поведением основной и дополнительной компонент спектра ЯМР и одновременно с соотношением их интенсивностей согласуется предположение, что решетка смешанных алюминатов состоит из упорядоченных микрообластей состава $YAlO_3$ (I), $Y_{7/8}Er_{1/8}AlO_3$ (II) и $Y_{1/8}Er_{7/8}AlO_3$ (III) [5]. Кроме того, по-видимому, некоторый объем занимает неупорядоченная фаза, дающая широкие линии на уровне шумов. Фаза I ($YAlO_3$) дает несмещенную центральную линию, фазы II и III дают дополнительные линии, смещенные от основной в сторону больших и меньших частот на одинаковую величину. Из соотношения интенсивностей можно оценить количество I, II и III фаз. Для образца с $x = 0.90$ доля I фазы составляет $3/4$, а доля II и III фаз — $1/4$ от всего упорядоченного объема кристалла. Для образца с $x = 0.93$ доля I фазы составляет $15/16$, а доля II и III фаз — $1/15$ от упорядоченного объема твердого раствора. Следует отметить, что из соотношения интенсивностей и концентрации Ег в образце с $x = 0.93$ наличие неупорядоченной фазы обязательно.

Таким образом, в настоящей работе проведены исследования ЯМР в твердых растворах $Y_xEr_{1-x}AlO_3$, на основании которых сделаны предположения о структурных особенностях этих смешанных кристаллов.

Список литературы

- [1] Bogum D. P. // Phys. Lett. 1982. V. 91A. N 9. P. 465—468.
- [2] Плетнев Р. Н., Золотухина Л. В., Губанов В. А. ЯМР в соединениях переменного состава. М.: Наука, 1983.
- [3] Смарт Д. Эффективное поле в теории магнетизма. М.: Мир, 1968.
- [4] Diehl P. // Math. Res. Bull. 1975. V. 10. N 1. P. 85—90.
- [5] Китайгородский А. И. Смешанные кристаллы. М.: Наука, 1983.

Санкт-Петербургский государственный
университет

Поступило в Редакцию
29 апреля 1992 г.